

## СРАВНЕНИЕ МЕХАНИЧЕСКИХ МОДЕЛЕЙ КОЛЕБАНИЯ ЛЕПЕСТКОВОГО КЛАПАНА

Главным фактором, определяющим ресурс пульсирующего воздушно-реактивного двигателя, является стойкость автоматического клапана. Автоматический лепестковый клапан представляет собой седло 1 с лепестком 2, закрепленным на нем одной стороной, отклонение которого ограничивается упором 3 (рис. 1). Известна также конструкция лепесткового клапана, в которой упор заменен системой рессор [1].

Механическая прочность клапана зависит от его материала и толщины. Свойства материала определяют вязкость, пластичность, величину удельной нагрузки, устойчивость к знакопеременным нагрузкам. Собственная частота колебаний лепестка клапана зависит от толщины материала и диаметра седла, причем от амплитудофазочастотных характеристик (АФЧХ) зависит его работоспособность. В ходе испытаний была получена осциллограмма колебаний лепестка клапана [2]. При обработке осциллограммы выявилась устойчивая гармоника, частота которой была на порядок выше основной (рис. 2).

Проведенный Фурье-анализ [3] звуковой записи процесса колебаний лепестка клапана показал, что основная гармоника остается устойчивой на протяжении всего временного промежутка, в то время как гармоники высших порядков со временем затухают, что подтвердило графическое спектрально-временное представление звука и Фурье-анализ осциллограммы колебаний (рис. 3).

Трактовка указанного эффекта может следовать из математической модели процесса осцилляций лепестка клапана.

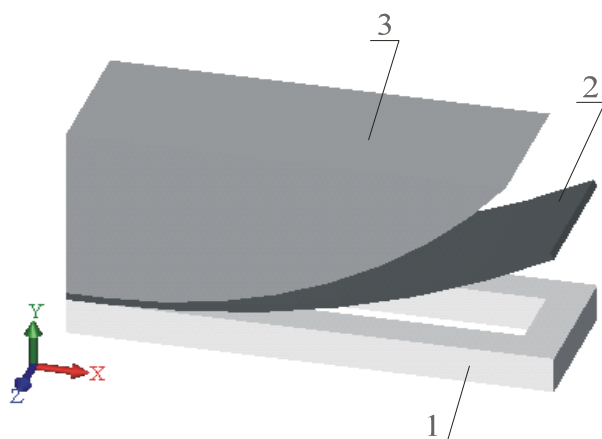


Рисунок 1 – Схема лепесткового клапана [4]

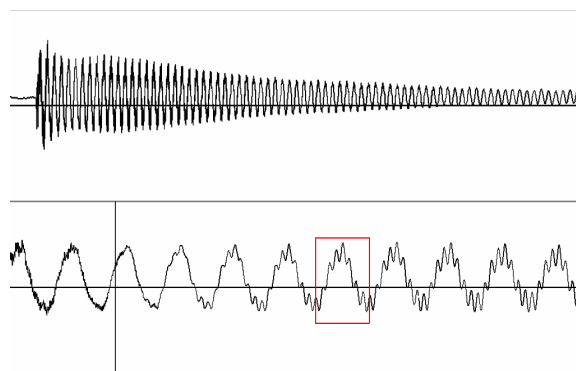


Рисунок 2 – Осциллограмма колебаний лепестка клапана

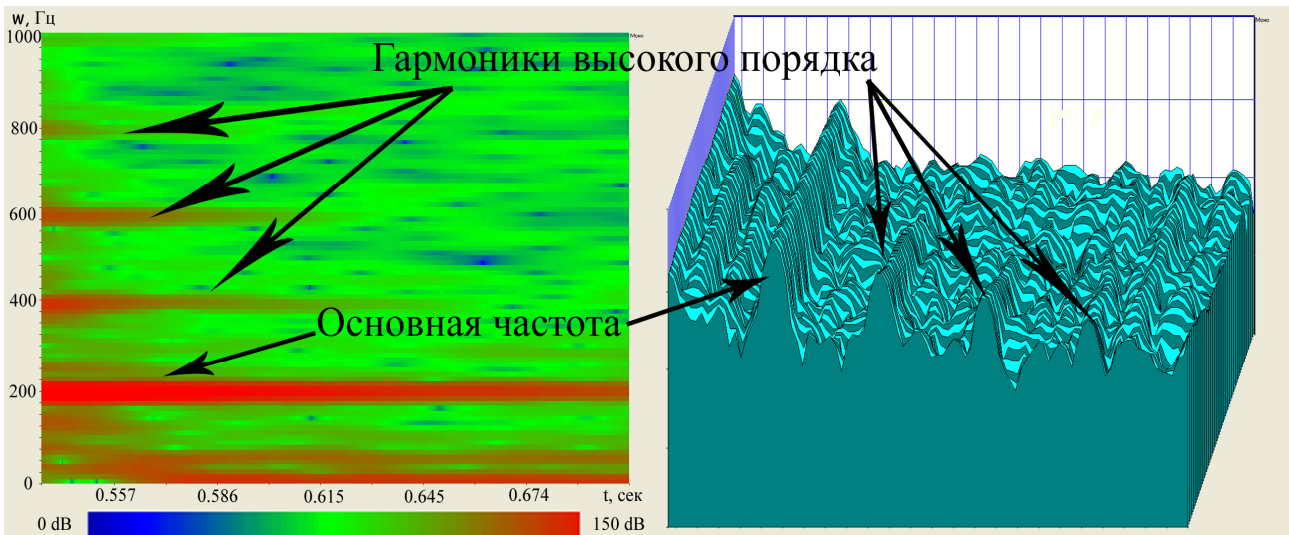


Рисунок 3 – Сонограмма и Фурье-анализ колебаний лепестка клапана, развёрнутые во времени

**Постановка задачи.** Известно уравнение движения лепесткового клапана [4]

$$\frac{\partial^2 y}{\partial t^2} = \frac{1}{\gamma h(x)l(x)} \left[ q(x) - \frac{\partial^2}{\partial x^2} \left( EJ(x) \cdot \frac{\frac{\partial^2 y}{\partial x^2}}{\sqrt{\left[ 1 + \left( \frac{\partial y}{\partial x} \right)^2 \right]^3}} \right) \right], \quad (1)$$

где  $q(x)$  – интенсивность сплошной нагрузки;  $\gamma$  – плотность материала;  $h(x)$  – толщина лепестка;  $l(x)$  – ширина лепестка;  $E$  – модуль упругости материала;  $J(x)$  – момент инерции сечения.

Решение дифференциального уравнения в частных производных (1) в квадратурах неизвестно, однако имеются приближенные решения для некоторых форм изменения ширины пластины [5]. Известны также численные методы расчета колебаний стержней переменного поперечного сечения [6].

**В первом** случае использован подход [7], заключающийся в описании системы с помощью обобщенных координат. Принимая во внимание только первую форму колебаний пластины, в качестве обобщенной координаты выбирают перемещение пластины в сечении центра тяжести пластины. При этом уравнение движения будет иметь следующий вид:

$$\frac{d^2 y}{dt^2} + \frac{k}{m_n} y = Q, \quad (2)$$

где  $y$  – обобщенная координата;  $k$  – коэффициент жесткости системы;

$$m_{\Pi} = \gamma \int h(x)l(x)dx \quad - \quad \text{обобщенная масса; } Q = \frac{1}{m_{\Pi}} \int \left( p + \frac{\rho w^2}{2} \right) dS \quad -$$

обобщенная вынуждающая сила (результатирующая сил давления).

Коэффициент жесткости системы определяется известным уравнением прогиба балок:

$$k = \frac{3EJ}{l^3}, \quad (3)$$

где  $l$  – координата центра масс пластины относительно заделки.

После наложения на обобщенную координату ограничения вида

$$0 \leq y \leq y_{\max} \quad (4)$$

получается система уравнений (2) – (4), приближенно описывающих механическое движение клапанной пластины под действием нагрузки от газодинамических сил.

**Во втором** случае математическая модель процесса осцилляций лепестка клапана сводилась к описанию свободных колебаний упругого стержня в двумерном пространстве.

Движение лепестка определяется функцией  $y(x, t)$  и описывается уравнением [8]

$$\frac{\partial^2 y}{\partial t^2} + \frac{EJ}{\gamma S} \frac{\partial^4 y}{\partial x^4} = 0, \quad (5)$$

где  $y(x, t)$  – смещение поверхности от равновесного положения;  $S$  – площадь поверхности.

На краях лепестка удовлетворяются граничные условия следующего вида:

на левом конце – жесткое защемление:

$$y|_{x=0} = 0, \quad \frac{\partial y}{\partial x}|_{x=0} = 0; \quad (6)$$

на правом конце – отсутствие изгибающего момента и перерезывающей силы:

$$\frac{\partial^2 y}{\partial x^2}|_{x=l} = 0, \quad \frac{\partial^3 y}{\partial x^3}|_{x=l} = 0. \quad (7)$$

В начальный момент времени

$$y|_{t=0} = f(x), \quad \frac{\partial y}{\partial t}|_{t=0} = 0, \quad 0 \leq x \leq l. \quad (8)$$

В третьем случае рассматривались малые колебания упругой пластины. Движение пластины определяется функцией  $W(t, x, y)$  и описывается уравнением [9]

$$\frac{\partial^2 W}{\partial t^2} + \frac{D}{\gamma h} \left( \frac{\partial^4 W}{\partial x^4} + \frac{\partial^4 W}{\partial x^2 \partial y^2} + \frac{\partial^4 W}{\partial y^4} \right) = 0, \quad (9)$$

где  $W(t, x, y)$  – смещение поверхности пластины от равновесного положения;  $D = Eh^3/12$  – изгибная жесткость.

На кромках пластины удовлетворяются граничные условия, заключающиеся в жестком закреплении на левом конце:

$$W = 0, \quad \frac{\partial W}{\partial x} = 0, \quad x = 0 \quad (10)$$

и в равенстве нулю изгибающего момента и перерезывающей силы на правом конце пластины:

$$\frac{\partial^2 W}{\partial y^2} + \mu \left( \frac{\partial^2 W}{\partial x^2} \right) = 0, \quad x = l; \quad (11)$$

$$\frac{\partial^3 W}{\partial y^3} + (2 - \mu) \left( \frac{\partial^3 W}{\partial y \partial x^2} \right) = 0, \quad x = l, \quad (12)$$

где  $\mu$  – коэффициент Пуассона материала пластины.

Начальные условия принимают следующий вид:

$$W|_{t=0} = f(x, y), \quad \frac{\partial W}{\partial t} \Big|_{t=0} = 0, \quad 0 \leq x \leq l, \quad 0 \leq y \leq b, \quad (13)$$

где  $l$ ,  $b$  – длина и ширина пластины соответственно.

**Численное исследование.** Решение систем уравнений (2) – (4) и (5) – (8) получено методом конечных разностей. Применялась аппроксимация частных производных по времени и пространству конечными разностями четвертого порядка точности.

На рис. 4 представлено решение систем уравнений в форме графиков изменения положения центра тяжести пластины за один период (рис. 2). В первом случае (рис. 4, а) модель предсказывает простые гармонические колебания. Во втором случае (рис. 4, б) картина совершенно иная. Результаты численного моделирования дают представление о комплексно-гармоническом характере колебательного движения лепестка клапана. На основную частоту в колебательном процессе накладываются частоты более высокого порядка. Это означает, что лепесток в

верхней и нижней мертвых точек при колебании изменяет свою форму (рис. 5,6).

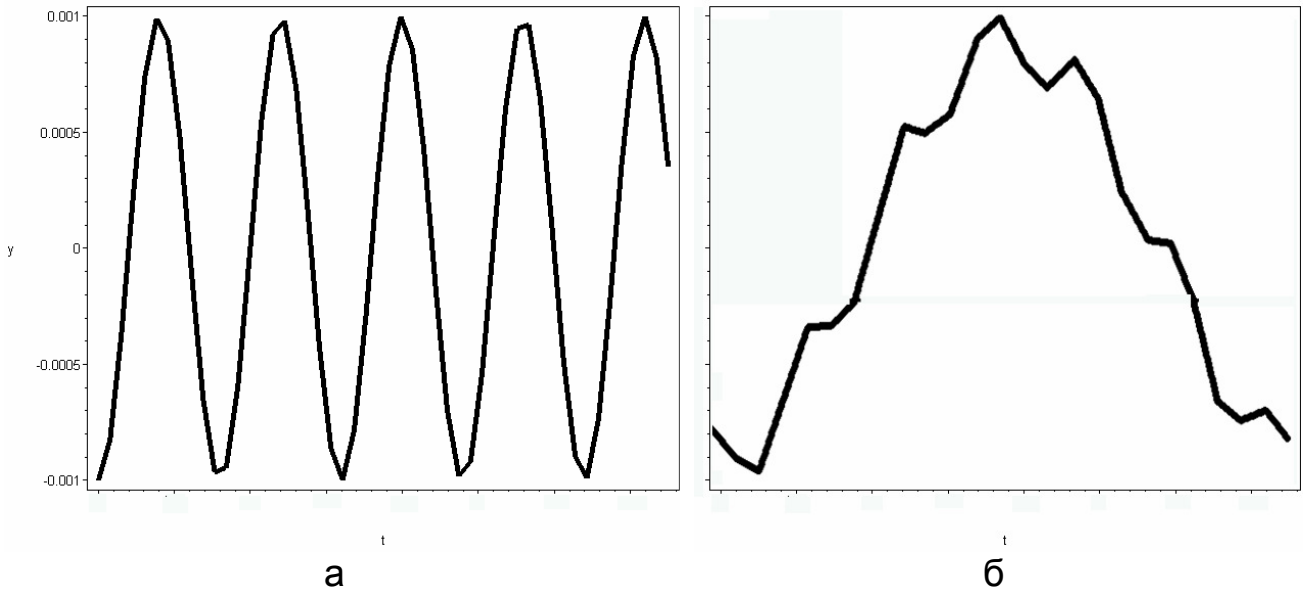


Рисунок 4 – Перемещение пластины в сечении центра тяжести: а – модель в обобщенных координатах, б – модель упругого стержня

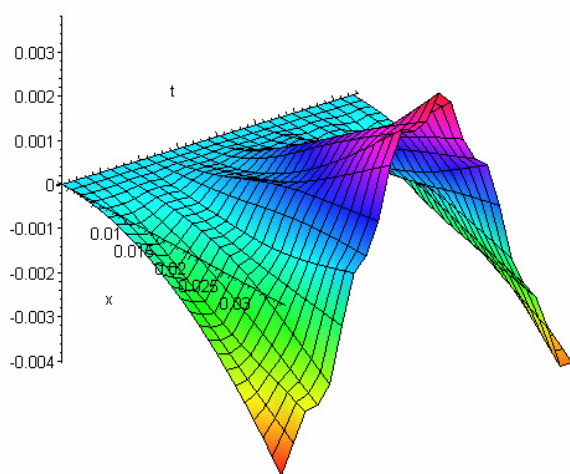


Рисунок 5 – Вековая поверхность процесса колебания лепестка клапана

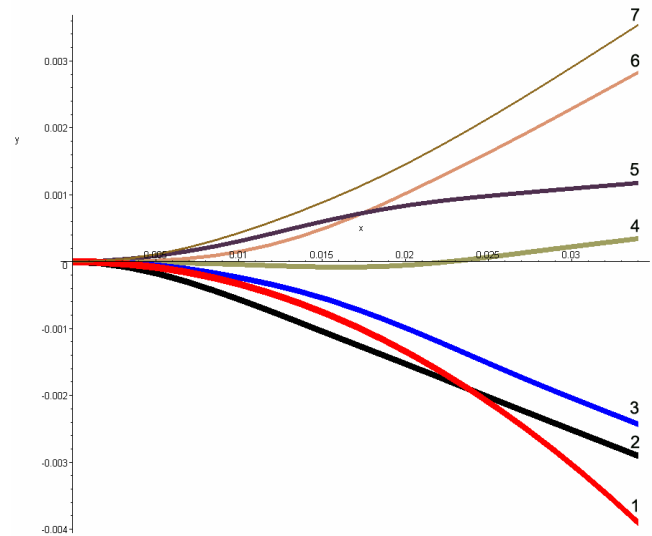


Рисунок 6 – Срезы процесса колебания лепестка клапана

Решение системы уравнений (9) – (13) получено методом конечных элементов. Результаты моделирования показывают, что кроме продольных волн, являющихся суперпозицией волн различного порядка частот, присутствуют и поперечные волны (рис. 7). При этом наблюдается корреляция между результатами моделирования волн в продольном направлении во втором и третьем случаях (рис. 7, 8).

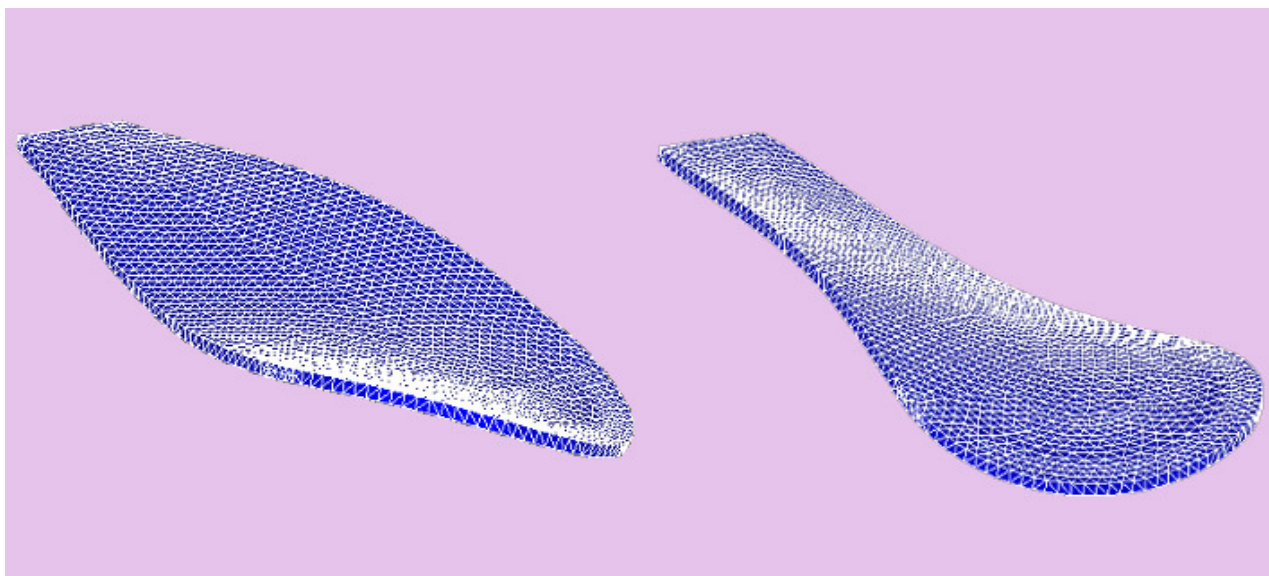


Рисунок 7 – Изменение формы лепестка клапана для различных фаз колебательного процесса (модель упругой пластины)

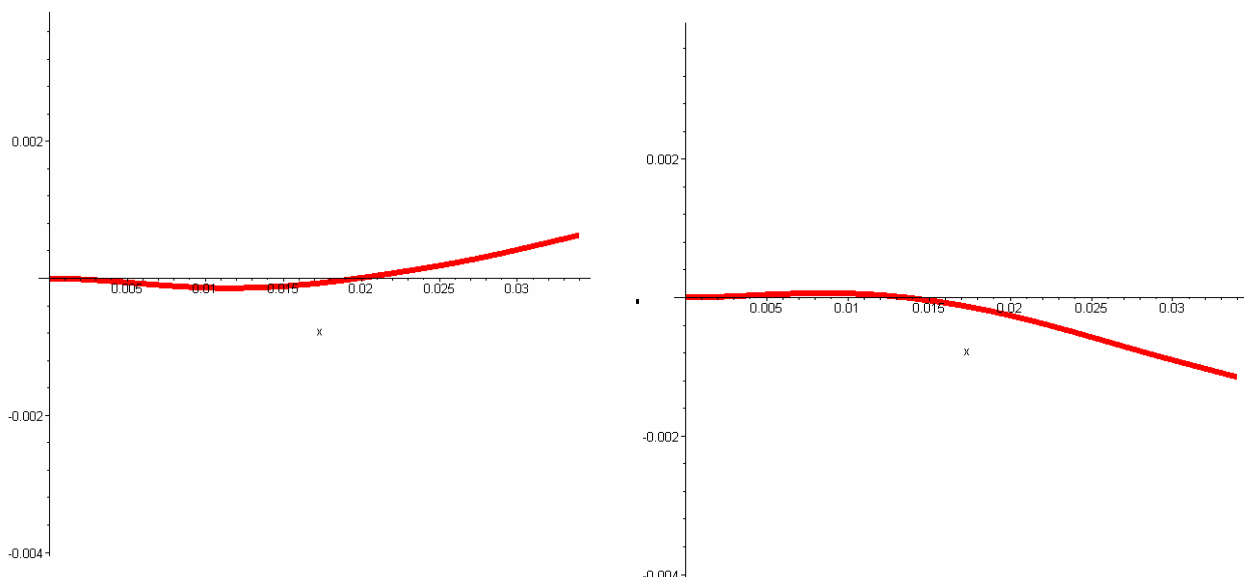


Рисунок 8 – Фазы процесса колебаний лепестка клапана (модель упругого стержня)

**Заключение.** Адекватность математических моделей физическому оригиналу является ключевым условием их применимости к решению практических задач. Полученный результат изменения формы лепестка клапана в верхней и нижней мертвых точках при колебании, а также наличие поперечных волн могут служить основанием к пересмотру формы поверхности седла и клапанной решетки. Уточненное описание колебательного движения клапана также способствует углубленному пониманию характера рабочих процессов пульсирующих воздушно-реактивных двигателей в пределах, необходимых для решения проектного комплекса задач газообмена, что позволяет исключить наиболее затратные стадии опытной доводки.

## Список использованных источников

1. Бородин В. Пульсирующие воздушно-реактивные двигатели летающих моделей самолетов/ Бородин В. – Х.: Изд-во ДОСААФ, 1974. –104 с.
2. Амброжевич А.В. Аппаратно-программный инструментарий исследования рабочих процессов пульсирующих воздушно-реактивных двигателей // А.В. Амброжевич, И.П. Бойчук, В.Ю. Силевич. // Авиационно-космическая техника и технология. – Х., 2008. Вып. 2. – С. 55-59.
3. Астафьева Н.М. Вейвлет-анализ: основы теории и примеры применения / Успехи физических наук. Т. 166, № 11. – 1996. – С. 1145–1170.
4. Ларьков С.Н. Формирование облика воздушно-реактивных двигателей малоразмерных летательных аппаратов на основе комплексного моделирования: дисс. ... канд. техн. наук: 05.07.05; (Рукопись) / Ларьков Сергей Николаевич. – Х., 2005. –159 с.
5. Тимошенко С.П. Колебания в инженерном деле/ С.П. Тимошенко – М.: Гос. изд-во физ.-мат. лит., 1959. – 440 с.
6. Вахитов М.Б. Расчет с помощью ЭВМ стержней переменного сечения на изгиб при произвольной поперечной и продольной нагрузке. / М.Б. Вахитов // Изв. вузов. Сер. «Авиац. Техника». – 1967. – №40. – С. 66–77.
7. Тимошенко С.П. Прочность и колебания элементов конструкций/ С.П. Тимошенко. – М.: Наука, 1975. – 704 с.
8. Тихонов А.Н. Уравнения математической физики/ А.Н. Тихонов, А.А. Самарский. – М.: Наука, 1977. – 736 с.
9. Алексеев В.В. Колебания упругой пластины контактирующей со свободной поверхностью тяжелой жидкости // В.В. Алексеев, Д.А. Индейцев, Ю.А. Мочалова. Журнал технической физики. Т. 72, – 2002. Вып. 5. – С. 16-21.

*Поступила в редакцию 20.08.2009 г.  
Рецензент: д-р техн. наук, проф. А.В. Гайдачук,  
Национальный аэрокосмический университет  
им. Н.Е. Жуковского «ХАИ», Харьков*